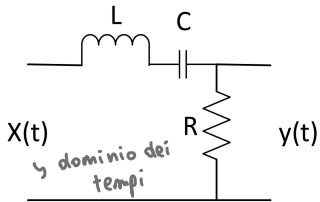


Esercizi

• Funzione di trasferimento, ampiezza e fase di una rete lineare LCR (serie) (PASSA-BANDA)

L : INDUTTORE C : CONDENSATORE


\rightarrow impedenza sul primo ramo $Z_1 = j\omega L + \frac{1}{j\omega C}$
 $H(\omega) = \frac{Z_2}{Z_1 + Z_2} = \frac{R}{R + j\omega L + \frac{1}{j\omega C}} = \frac{j\omega CR}{1 - \omega^2 LC + j\omega CR}$

FUNZIONE DI TRASFERIMENTO = TRASFORMATA DI FOURIER DELLA RISPOSTA IMPULSIVA
 $H(\omega) = F[h(t)]$

$(H(\omega) \text{ è nel dom delle frequenze}) \rightarrow$ COMPLESSA

Ampiezza: $T(\omega) = |H(\omega)| = \frac{|j\omega CR|}{|1 - \omega^2 LC + j\omega CR|} = \frac{\omega CR}{\sqrt{(1 - \omega^2 LC)^2 + (\omega CR)^2}}$

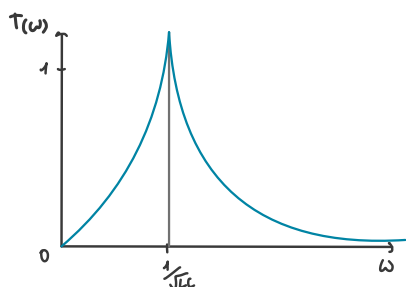
Fase: $\beta(\omega) = -\arg\{H(\omega)\} = \arg\{1 - \omega^2 LC + j\omega CR\} - \arg\{j\omega CR\} = \arg\{1 - \omega^2 LC + j\omega CR\} - \frac{\pi}{2}$

il denominatore della funzione di trasferimento

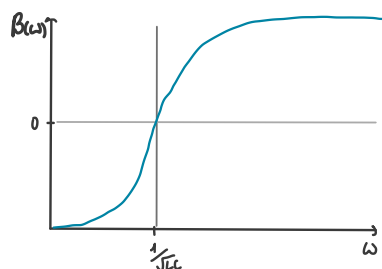
ha parte reale positiva per $\omega \leq \omega_0 \rightarrow \omega_0 = \frac{1}{\sqrt{LC}}$ → PULSAZIONE DI RISONANZA

LA RETE SI COMPORTA COME UN FILTRO PASSA-BANDA REALE

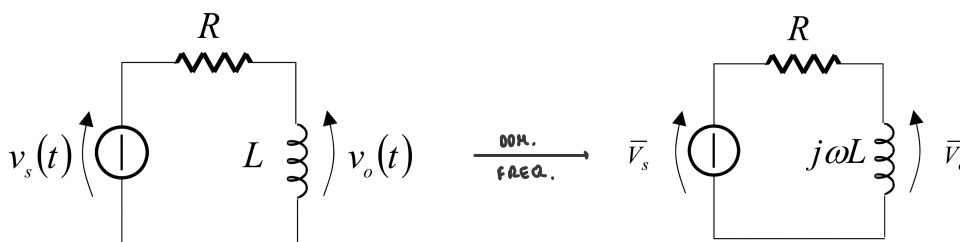
$$\arg\{1 - \omega^2 LC + j\omega CR\} = \begin{cases} \arctg\left(\frac{\omega CR}{1 - \omega^2 LC}\right) & \omega \leq \omega_0 \\ \arctg\left(\frac{\omega CR}{1 - \omega^2 LC}\right) + \pi & \omega > \omega_0 \end{cases} \rightarrow \beta(\omega) = \begin{cases} \arctg\left(\frac{\omega CR}{1 - \omega^2 LC}\right) & \omega \leq \omega_0 \\ \arctg\left(\frac{\omega CR}{1 - \omega^2 LC}\right) + \pi & \omega > \omega_0 \end{cases}$$



CIRCUITO LCR (serie)



• Circuito RL: funzione di trasferimento, caratteristica di ampiezza e fase, grafico

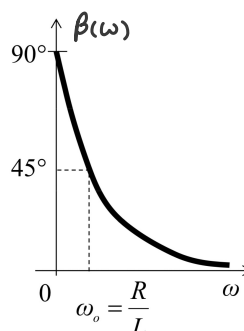
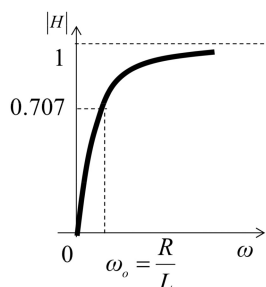


Funzione di trasferimento. $H(\omega) = \frac{Z_2}{Z_1 + Z_2} = \frac{j\omega L}{R + j\omega L} = \frac{1}{1 + \frac{R}{j\omega L}}$

$\omega_0 = \frac{R}{L} \rightarrow H(\omega) = \frac{1}{1 - j \frac{\omega_0}{\omega}}$

Ampiezza: $T(\omega) = |H(\omega)| = \frac{1}{\sqrt{1 + \left(\frac{\omega_0}{\omega}\right)^2}}$

Fase: $\beta(\omega) = -\arg\{H(\omega)\} = \arg\left\{1 - j \frac{\omega_0}{\omega}\right\} = \arctg \frac{\omega_0}{\omega}$

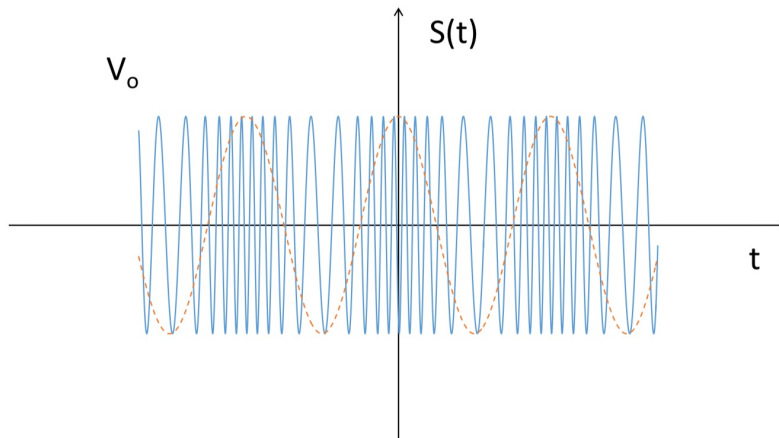


- **Modulazione FM: segnale modulante sinusoidale; cosa succede alla modulata vicino alla modulante, grafico**

$$FM \begin{cases} m(t) = 0 \\ \Delta\omega(t) = kx(t) \end{cases}$$

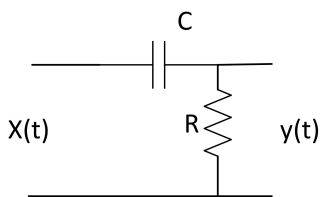
Nella modulazione di frequenza FM è la deviazione istantanea di pulsazione ad essere direttamente proporzionale al segnale modulante e non quella di fase. Dato il legame fra deviazione di fase e deviazione di frequenza in FM si ha: $\alpha(t) = k \int_{-\infty}^t x(\tau) d\tau$

$$s(t) = V_o \cos\left[\omega_o t + k \int_{-\infty}^t x(\tau) d\tau - \varphi_o\right] \quad (\text{solo la modulazione in angolo è presente})$$



Se $k > 0$ la frequenza istantanea (cioè l'infrattimento dell'oscillazione modulata) segue in FM l'andamento del segnale modulante (riportato con linea tratteggiata), quindi è massima in corrispondenza dei massimi del segnale modulante, minima in corrispondenza dei minimi e uguale a quella della portante in corrispondenza degli zeri.

- **Rete lineare CR: funzione di trasferimento, ampiezza, fase e grafico**

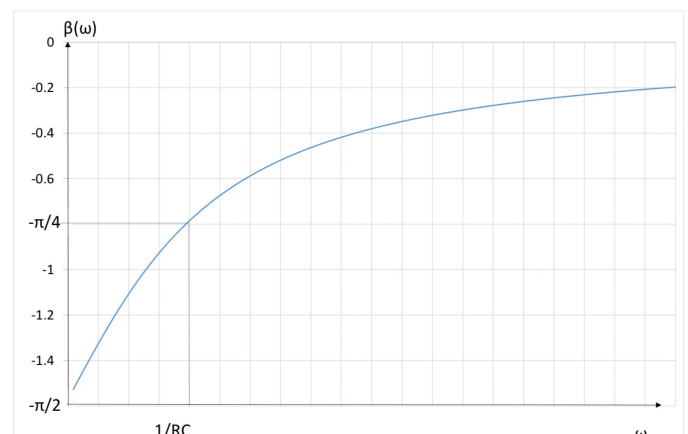
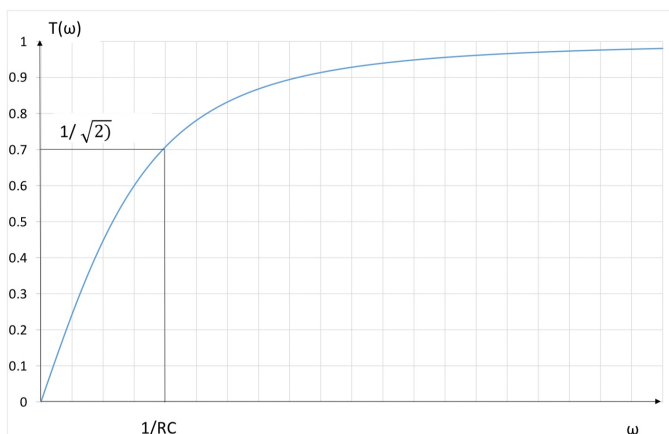


$$H(\omega) = \frac{Z_2}{Z_1 + Z_2} = \frac{R}{R + \frac{1}{j\omega C}} = \frac{j\omega CR}{1 + j\omega CR}$$

$$\text{Ampiezza: } T(\omega) = |H(\omega)| = \frac{|j\omega CR|}{|1 + j\omega CR|} = \frac{\omega CR}{\sqrt{1 + (\omega CR)^2}}$$

$$\text{Fase: } \beta(\omega) = -\arg\{H(\omega)\} = \arg\{1 + j\omega CR\} - \arg\{j\omega CR\} = \arctan(\omega CR) - \frac{\pi}{2}$$

La rete si comporta come un filtro passa-alto non ideale. La pulsazione di taglio è: $\omega_c = \frac{1}{RC}$

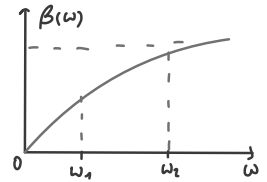
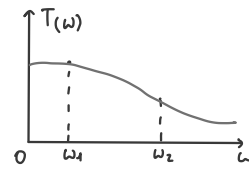


• In una rete mando due sinusoidi: trovare la risposta

$$x(t) = V_1 \cos(\omega_1 t - \varphi_1) + V_2 \cos(\omega_2 t - \varphi_2) \quad y(t) = ?$$

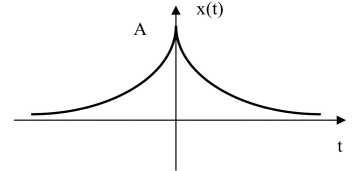
$$y(t) = V_1 T(\omega_1) \cos[\omega_1 t - \varphi_1 - \beta(\omega_1)] + V_2 T(\omega_2) \cos[\omega_2 t - \varphi_2 - \beta(\omega_2)]$$

$$y(t) = V_1 T(\omega_1) \cos[\omega_1 t - \varphi_1 - \underbrace{\beta(\omega_1)}_{\tau_0}]$$



• Trasformata di un esponenziale bilatera

$x(t) = A e^{-\frac{|t|}{t_0}} \quad t_0 > 0$ Si tratta di una funzione reale pari, continua nei valori, tempo-continua di tipo aperiodico.



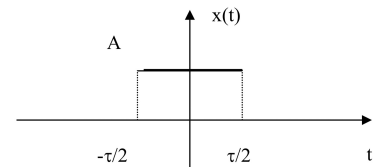
$$X(\omega) = \int_{-\infty}^{+\infty} x(t) e^{-j\omega t} dt = A \int_{-\infty}^0 e^{t/t_0} e^{-j\omega t} dt + A \int_0^{+\infty} e^{-t/t_0} e^{-j\omega t} dt = A \int_{-\infty}^0 e^{t(1/t_0 - j\omega)} dt + A \int_0^{+\infty} e^{t(-1/t_0 - j\omega)} dt =$$

$$= A \left[\frac{e^{t(1/t_0 - j\omega)}}{1/t_0 - j\omega} \right]_{-\infty}^0 + A \left[\frac{e^{t(-1/t_0 - j\omega)}}{-1/t_0 - j\omega} \right]_0^{+\infty} = \frac{A t_0}{1 - j\omega t_0} + \frac{A t_0}{1 + j\omega t_0} = \frac{2 A t_0}{1 + \omega^2 t_0^2}$$

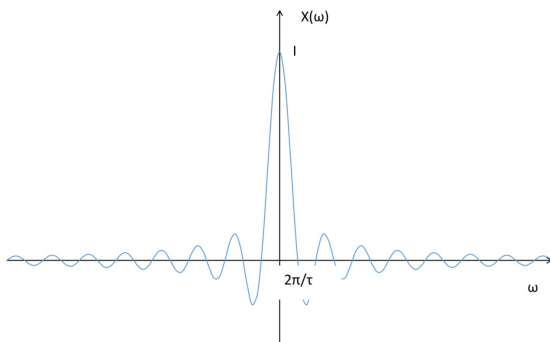
• Trasformata di un impulso rettangolare

Si tratta di una funzione reale pari, discreta nei valori e tempo-continua, di tipo aperiodico.

$$\begin{aligned} X(\omega) &= \int_{-\infty}^{+\infty} x(t) e^{-j\omega t} dt = A \int_{-\tau/2}^{+\tau/2} e^{-j\omega t} dt = A \left[\frac{e^{-j\omega t}}{-j\omega} \right]_{-\tau/2}^{+\tau/2} = A \frac{e^{-j\omega \tau/2} - e^{j\omega \tau/2}}{-j\omega} = \\ &= A \frac{-2j \sin(\omega \tau/2)}{-j\omega} = A \tau \frac{\sin(\omega \tau/2)}{\omega \tau/2} = A \tau \frac{\sin(\omega \tau/2)}{\omega \tau/2} = \int \frac{\sin(\omega \tau/2)}{\omega \tau/2} = \int \frac{\sin(\omega \tau/2)}{\omega \tau/2} = \\ &= \int \text{sinc}\left(\frac{\omega \tau}{2\pi}\right) \quad \left(\text{sinc} z = \frac{\sin \pi z}{\pi z} \right) \end{aligned}$$

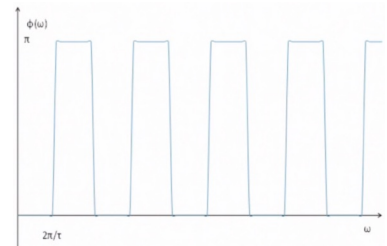
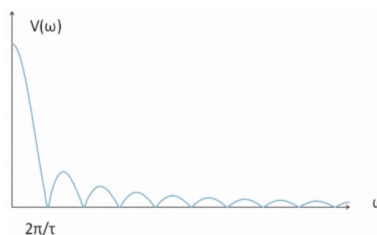


Il risultato ottenuto è reale, visto che $x(t)$ oltre ad essere reale è pari; il grafico è quello del sinc (una senoide smorzata): più τ è piccolo più la banda del grafico tende ad allargarsi.



$$\text{SPETTRO DI AMPIEZZA: } V(\omega) = \frac{|X(\omega)|}{\pi} = \frac{1}{\pi} \left| \frac{\sin(\omega \tau/2)}{\omega \tau/2} \right| = \frac{1}{\pi} |\text{sinc}(\omega \tau/2\pi)|$$

$$\text{SPETTRO DI FASE: } \varphi(\omega) = -\arg\{X(\omega)\} = \begin{cases} 0 & X(\omega) > 0 \\ \pi & X(\omega) < 0 \end{cases}$$



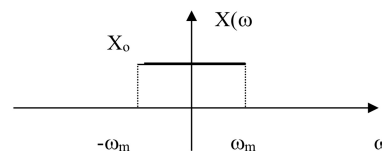
Confrontando la trasformata dell'impulso con i coefficienti dello sviluppo in serie della successione di impulsi:

$$X(\omega) = \int \frac{\sin(\omega \tau/2)}{\omega \tau/2} \quad c_n = \frac{1}{T} \frac{\sin(n\omega_0 \tau/2)}{n\omega_0 \tau/2} \rightarrow c_n = \frac{1}{T} X(n\omega_0) \quad \text{RISULTATO GENERALE}$$

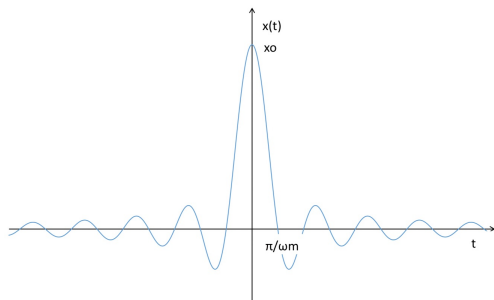
Si ottiene che i coefficienti possono essere ottenuti campionando a multipli della fondamentale la trasformata (divisa per T).

• Antitrasformata di un impulso rettangolare nelle frequenze

$$X(\omega) = \begin{cases} X_0 & |\omega| < \omega_m \\ 0 & |\omega| > \omega_m \end{cases} \quad X_0 > 0$$



$$x(t) = \frac{1}{2\pi} \int_{-\infty}^{+\infty} X(\omega) e^{j\omega t} d\omega = \frac{X_0}{2\pi} \int_{-\omega_m}^{+\omega_m} e^{j\omega t} d\omega = \frac{X_0}{2\pi} \left[\frac{e^{j\omega t}}{jt} \right]_{-\omega_m}^{+\omega_m} = \frac{X_0 \omega_m}{\pi} \frac{\text{sen}(\omega_m t)}{\omega_m t} = X_0 \frac{\text{sen}(\omega_m t)}{\omega_m t} = X_0 \text{sinc} \left(\frac{\omega_m t}{\pi} \right)$$



All'impulso nelle frequenze corrisponde un sinc nei tempi, viceversa ad un impulso nei tempi corrisponde un sinc nelle frequenze.

Maggiore la banda, più stretto il sinc.
 ω_m

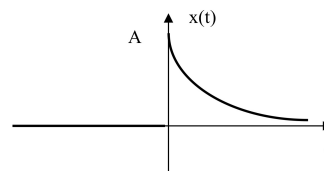
Variante dell'esercizio con aggiunta una caratteristica di fase proporzionale a ω (proprietà dei segnali ritardati):

$$X(\omega) = \begin{cases} X_0 e^{-j\omega t_0} & |\omega| < \omega_m \\ 0 & |\omega| > \omega_m \end{cases} \quad X_0 > 0 \rightarrow x(t) = X_0 \frac{\text{sen}[\omega_m(t-t_0)]}{\omega_m(t-t_0)} = X_0 \text{sinc} \left[\frac{\omega_m(t-t_0)}{\pi} \right]$$

• Trasformata di un'esponenziale monolaterale

$$x(t) = \begin{cases} 0 & t < 0 \\ A e^{-t/t_0} & t \geq 0 \end{cases} \quad t_0 > 0$$

$x(t)$ è reale ma non è pari, quindi la trasformata risulta complessa



$$X(\omega) = \int_{-\infty}^{+\infty} x(t) e^{-j\omega t} dt = A \int_0^{+\infty} e^{-t/t_0} e^{-j\omega t} dt = A \int_0^{+\infty} e^{t(-1/t_0 - j\omega)} dt = A \left[\frac{e^{t(-1/t_0 - j\omega)}}{-1/t_0 - j\omega} \right]_0^{+\infty} = \frac{A t_0}{1 + j\omega t_0} = \frac{2 A t_0}{1 + \omega^2 t_0^2}$$

SPETTRO DI AMPIEZZA MONOLATERO: $V(\omega) = \frac{|X(\omega)|}{\pi} = \frac{A t_0}{\pi} \frac{1}{\sqrt{1 + \omega^2 t_0^2}} \quad \omega \geq 0$

SPETTRO DI FASE MONOLATERO: $\varphi(\omega) = -\arg\{X(\omega)\} = -(0 - \arctg \omega t_0) = \arctg \omega t_0$

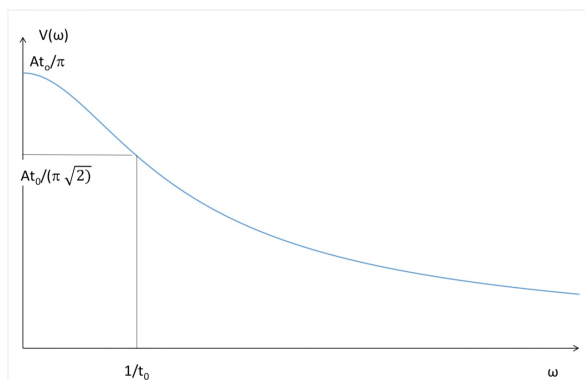


Fig.22 Spettro (densità spettrale) di ampiezza dell'esponenziale monolaterale.

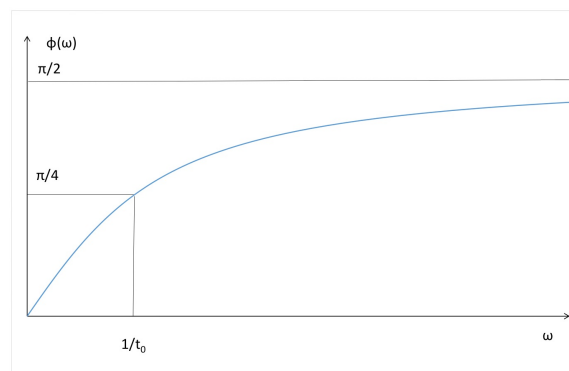
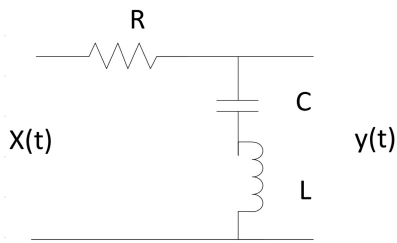


Fig.23 Spettro di fase dell'esponenziale monolaterale.

• Circuito RCL in serie



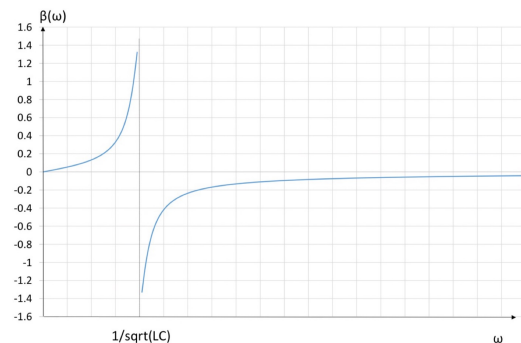
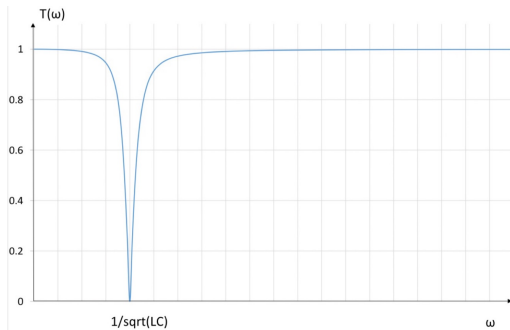
$$Z_2 = j\omega L + \frac{1}{j\omega C} \rightarrow H(\omega) = \frac{Z_2}{Z_1 + Z_2} = \frac{j\omega L + \frac{1}{j\omega C}}{R + j\omega L + \frac{1}{j\omega C}} = \frac{1 - \omega^2 LC}{1 - \omega^2 LC + j\omega CR}$$

$$\text{Ampiezza: } T(\omega) = |H(\omega)| = \frac{|1 - \omega^2 LC|}{|1 - \omega^2 LC + j\omega CR|} = \frac{|1 - \omega^2 LC|}{\sqrt{(1 - \omega^2 LC)^2 + (\omega CR)^2}}$$

$$\text{Fase: } \beta(\omega) = -\arg\{H(\omega)\} = \arg\{1 - \omega^2 LC + j\omega CR\} - \arg\{1 - \omega^2 LC\}$$

$$\arg\{1 - \omega^2 LC\} = \begin{cases} 0 & \omega \leq \omega_0 \\ \pi & \omega > \omega_0 \end{cases} \quad \arg\{1 - \omega^2 LC + j\omega CR\} = \begin{cases} \arctan(\omega CR / (1 - \omega^2 LC)) & \omega \leq \omega_0 \\ \arctan(\omega CR / (1 - \omega^2 LC)) + \pi & \omega > \omega_0 \end{cases}$$

$$\beta(\omega) = \arctan\left(\frac{\omega CR}{1 - \omega^2 LC}\right)$$



- annulla le componenti alla pulsazione di risonanza
- alla pulsazione estreme lascia inalterata l'ampiezza
- si comporta come un filtro elimina-banda non ideale
- viene rappresentato solo il semiasse positivo per convenienza grafica (nelle reti reali la caratteristica di ampiezza è dispari)

- il circuito sfasa di $\pi/2$ per $\omega \rightarrow \omega_0 - 0$
- il circuito sfasa di $-\pi/2$ per $\omega \rightarrow \omega_0 + 0$
- non sfasa alle pulsazioni estreme
- viene rappresentato solo il semiasse positivo per convenienza grafica (nelle reti reali la caratteristica di fase è dispari)

• Circuito LR: funzione di trasferimento, ampiezza/fase, grafici

$$H(\omega) = \frac{Z_2}{Z_1 + Z_2} = \frac{R}{j\omega L + R} = \frac{1}{1 + j\omega L/R}$$

$$T(\omega) = |H(\omega)| = \frac{1}{\sqrt{1 + (\omega L/R)^2}}$$

$$\beta(\omega) = -\arg\{H(\omega)\} = \arctan\left(\frac{\omega L}{R}\right)$$

• Circuito CL: funzione di trasferimento, caratteristiche ampiezza/fase, grafico

$$H(\omega) = \frac{Z_2}{Z_1 + Z_2} = \frac{j\omega L}{1/j\omega C + j\omega L} = \frac{j\omega L}{\frac{1 + j^2 \omega^2 LC}{j\omega C}} = \frac{j^2 \omega^2 CL}{1 - \omega^2 CL} = \frac{\omega^2 CL}{\omega^2 CL - 1}$$

$$T(\omega) = |H(\omega)| = \frac{|\omega^2 CL|}{|\omega^2 CL - 1|} = \frac{\omega^2 CL}{\omega^2 CL - 1}$$

$$\beta(\omega) = -\arg\{T(\omega)\} = \arg\{\omega^2 CL\} - \arg\{\omega^2 CL - 1\} = \arctan\left\{\frac{0}{\omega^2 CL - 1}\right\} - \arctan\left\{\frac{0}{\omega^2 CL}\right\} \rightarrow \arctan\left\{\frac{0}{\omega^2 CL - 1}\right\} = \begin{cases} 0 & \text{se } H(\omega) > 0 \\ \pi & \text{se } H(\omega) < 0 \end{cases}$$

• **Trasformata di Fourier $s(t) = x(t) \cos(\omega_0 t)$ dove $x(t)$ = gradino unitario simmetrico**

Si esprime il coseno come somma di due esponenziali complessi coniugati: $\cos(\omega_0 t) = \frac{e^{j\omega_0 t} + e^{-j\omega_0 t}}{2}$

$$s(t) = \frac{1}{2} x(t) e^{j\omega_0 t} + \frac{1}{2} x(t) e^{-j\omega_0 t}$$

Si ottiene la trasformata del segnale:

$$S(\omega) = \frac{1}{2} \int_{-\infty}^{+\infty} x(t) e^{j\omega_0 t} e^{-j\omega t} dt + \frac{1}{2} \int_{-\infty}^{+\infty} x(t) e^{-j\omega_0 t} e^{-j\omega t} dt = \frac{1}{2} \int_{-\infty}^{+\infty} x(t) e^{-j(\omega - \omega_0)t} dt + \frac{1}{2} \int_{-\infty}^{+\infty} x(t) e^{-j(\omega + \omega_0)t} dt = \frac{1}{2} X(\omega - \omega_0) + \frac{1}{2} X(\omega + \omega_0)$$

Prendendo il valore della trasformata di Fourier del gradino unitario simmetrico $1(t)$: $X(\omega) = \frac{1}{j\omega}$

$$S(\omega) = \frac{1}{2} \frac{1}{j(\omega - \omega_0)} + \frac{1}{2} \frac{1}{j(\omega + \omega_0)} = \frac{1}{2j} \left(\frac{2\omega}{\omega^2 - \omega_0^2} \right) = \frac{1}{j} \left(\frac{\omega}{\omega^2 - \omega_0^2} \right)$$

Da cui lo spettro di ampiezza monolatero è: $V(\omega) = \frac{|S(\omega)|}{\pi} = \frac{|\omega|}{\pi \sqrt{\omega^2 - \omega_0^2}} \quad \omega \geq 0$

E lo spettro di fase monolatero: $\varphi(\omega) = -\arg\{S(\omega)\} = \arg\{\omega^2 - \omega_0^2\} - \arg\{j\omega\} = \arg\left\{\frac{0}{\omega^2 - \omega_0^2}\right\} - \arg\{\omega\}$

$$\arg\{\omega\} = \begin{cases} \pi & \omega \geq 0 \\ \text{non pertinente} & \omega < 0 \end{cases} \quad \arg\left\{\frac{\omega^2 - \omega_0^2}{0}\right\} = \begin{cases} 0 & \omega \leq \omega_0 \\ \pi & \omega > \omega_0 \end{cases} \rightarrow \varphi(\omega) = \begin{cases} -\frac{\pi}{2} & \omega \leq \omega_0 \\ \frac{\pi}{2} & \omega > \omega_0 \end{cases}$$

• **Spettro ampiezza monolatero di $s(t) = x(t) \sin(\omega_0 t)$ dove $x(t)$ = gradino unitario simmetrico**

Si esprime il seno come somma di due esponenziali complessi coniugati: $\sin(\omega_0 t) = \frac{e^{j\omega_0 t} - e^{-j\omega_0 t}}{2j}$

$$s(t) = \frac{1}{2j} x(t) e^{j\omega_0 t} - \frac{1}{2j} x(t) e^{-j\omega_0 t}$$

Si ottiene la trasformata del segnale:

$$S(\omega) = \frac{1}{2} \int_{-\infty}^{+\infty} x(t) e^{j\omega_0 t} e^{-j\omega t} dt - \frac{1}{2} \int_{-\infty}^{+\infty} x(t) e^{-j\omega_0 t} e^{-j\omega t} dt = \frac{1}{2} \int_{-\infty}^{+\infty} x(t) e^{-j(\omega - \omega_0)t} dt - \frac{1}{2} \int_{-\infty}^{+\infty} x(t) e^{-j(\omega + \omega_0)t} dt = \frac{1}{2} X(\omega - \omega_0) - \frac{1}{2} X(\omega + \omega_0)$$

Prendendo il valore della trasformata di Fourier del gradino unitario simmetrico $1(t)$: $X(\omega) = \frac{1}{j\omega}$

$$S(\omega) = \frac{1}{2j} \left(\frac{1}{j(\omega - \omega_0)} \right) - \frac{1}{2j} \left(\frac{1}{j(\omega + \omega_0)} \right) = -\frac{1}{2} \left(\frac{1}{\omega - \omega_0} \right) + \frac{1}{2} \left(\frac{1}{\omega + \omega_0} \right) = \frac{1}{2} \left(\frac{2\omega}{\omega_0^2 - \omega^2} \right) = \frac{\omega}{\omega_0^2 - \omega^2}$$

Da cui lo spettro di ampiezza monolatero è: $V(\omega) = \frac{|S(\omega)|}{\pi} = \frac{|\omega|}{\pi \sqrt{\omega_0^2 - \omega^2}} \quad \omega \geq 0$

• **Trasformata di Fourier di $s(t) = x(t) \sin(\omega_0 t)$ con $x(t)$ impulso rettangolare di durata τ**

Si esprime il seno come somma di due esponenziali complessi coniugati: $\sin(\omega_0 t) = \frac{e^{j\omega_0 t} - e^{-j\omega_0 t}}{2j}$

$$s(t) = \frac{1}{2j} x(t) e^{j\omega_0 t} - \frac{1}{2j} x(t) e^{-j\omega_0 t}$$

Si ottiene la trasformata del segnale:

$$S(\omega) = \frac{1}{2} \int_{-\infty}^{+\infty} x(t) e^{j\omega_0 t} e^{-j\omega t} dt - \frac{1}{2} \int_{-\infty}^{+\infty} x(t) e^{-j\omega_0 t} e^{-j\omega t} dt = \frac{1}{2} \int_{-\infty}^{+\infty} x(t) e^{-j(\omega - \omega_0)t} dt - \frac{1}{2} \int_{-\infty}^{+\infty} x(t) e^{-j(\omega + \omega_0)t} dt = \frac{1}{2} X(\omega - \omega_0) - \frac{1}{2} X(\omega + \omega_0)$$

Prendendo il valore della trasformata di Fourier dell'impulso rettangolare: $X(\omega) = \tau \operatorname{sinc}\left(\frac{\omega\tau}{2\pi}\right)$

$$S(\omega) = \frac{1}{2j} \tau \operatorname{sinc}\left(\frac{(\omega - \omega_0)\tau}{2\pi}\right) - \frac{1}{2j} \tau \operatorname{sinc}\left(\frac{(\omega + \omega_0)\tau}{2\pi}\right)$$

Si ottiene lo spettro di ampiezza monolatero: $V(\omega) = \frac{|S(\omega)|}{\pi} = \frac{1}{2\pi} \left| \tau \operatorname{sinc}\left(\frac{(\omega - \omega_0)\tau}{2\pi}\right) \right| - \frac{1}{2\pi} \left| \tau \operatorname{sinc}\left(\frac{(\omega + \omega_0)\tau}{2\pi}\right) \right|$